

I-9

表面移動荷重を受ける半無限多孔質弾性体の非定常応答

山梨大学・工学部 平島 健一
 横浜市役所 ○ 佐々木 康一
 山梨大学・大学院 谷口 信博

1. 緒言 等方性の多孔質弾性体 (poroelastic medium) において、液体が多孔質部分を満たしていき場合 (飽和多孔質弾性体の場合) には、3種類の波すなわちせん断波と2つの膨張波が存在し、散逸がなければ、それと同一速度で伝播する。本文では、散逸のない半無限の飽和多孔質弾性体の表面を移動する荷重によること生じる媒体の応力、変位等の力学量の時間応答に対する動的型の解析解を求め、その数値結果を示す。解析手法は著者の一人による古典的な弾性体に対する取り扱いと本質的に同じであり、基礎方程式の Fourier-Laplace 変換した結果の形式解を求めて後、逆変換と実行するものである。Laplace 逆変換には Cagniard の手法を用いた。同種の問題の初期的、形式的な解を求めて幾つかの論文が刊記されている。

2. 基礎方程式とその解法 まず、空間 $x \geq 0$ を占める均質等方の飽和多孔質弾性の半無限弾性体を考え、時刻 $t = 0$ で表面 ($x = 0$) に垂直および水平に集中線荷重が作用し、その後、 x 軸方向に沿って一定速度 C で移動する問題を設定する。したがって、 y 方向には平面ひずみ状態 ($u_y = 0$) であるような2次元問題となる。Biot の理論によれば、構成関係式として、次式が成立する。

$$\sigma_x = 2N e_x + D e + Q \epsilon, \quad \sigma_z = 2N e_z + D e + Q \epsilon, \quad \gamma_{xz} = N \gamma_{xz}, \quad \tau_p = Q \epsilon + R \epsilon, \dots \quad (1)$$

$$= \therefore, \quad e_x = u_{x,x}, \quad e_z = u_{z,z}, \quad \gamma_{xz} = u_{x,z} + u_{z,x}, \quad \epsilon = e_x + e_z, \quad \epsilon = U_{x,x} + U_{y,y} + U_{z,z} \quad (2)$$

u_y, U_y はそれ自身、固体部分および液体部分の平均変位成分である。

運動方程式 (1) に代入整理すれば、例えば x 軸方向の運動方程式として次式を得る。

$$N \nabla^2 u_x + (D+N) e_x + Q \epsilon_x = \frac{\partial^2}{\partial t^2} (P_1 u_x + P_2 U_x), \quad Q \epsilon_x + R \epsilon_x = \frac{\partial^2}{\partial t^2} (P_1 u_x + P_2 U_x), \quad \nabla^2 = \frac{\partial^2}{\partial x^2} + \frac{\partial^2}{\partial z^2} \quad (3)$$

z 方向に γ_{xz} で表される式も同様の式が成立する。したがって、得られた式を発散成分と回転成分に分解すると式 (3) が得られる。

$$(D+2N) \nabla^2 \varphi + Q \nabla^2 \psi = \frac{\partial^2}{\partial t^2} (P_1 \varphi + P_2 \psi), \quad Q \nabla^2 \varphi + R \nabla^2 \psi = \frac{\partial^2}{\partial t^2} (P_1 \varphi + P_2 \psi), \quad N \nabla^2 H = \frac{\partial^2}{\partial t^2} (P_1 H + P_2 G), \quad \theta = \frac{\partial^2}{\partial t^2} (P_1 H + P_2 G); \quad (4)$$

$$= \therefore, \quad \varphi = \operatorname{div} \mathbf{U}, \quad \psi = \operatorname{div} \mathbf{U}, \quad H = \operatorname{curl} \mathbf{U}, \quad G = \operatorname{curl} \mathbf{U}, \quad \mathbf{U} = U_x \mathbf{e}_x + U_z \mathbf{e}_z \quad (5)$$

また、 P_j は密度であり、固体密度 ρ_s 、液体密度 ρ_f とするとき $\rho_s = P_1 + P_2$ 、 $\rho_f = P_2 + P_3$ の関係がある。

変位成分および応力成分をポテンシャル φ, ψ を用いて表示すれば次式が成立する。

$$u_x = \varphi_{,x} - H_{,z}, \quad u_z = \varphi_{,z} + H_{,x}, \quad U_x = \psi_{,x} - G_{,z}, \quad U_z = \psi_{,z} + G_{,x}, \quad \sigma_x = D \nabla^2 \varphi + Q \nabla^2 \psi + 2N (\varphi_{,xx} - H_{,zz}), \quad (6)$$

$$\sigma_z = D \nabla^2 \psi + Q \nabla^2 \varphi + 2N (\varphi_{,zz} + H_{,xx}), \quad \gamma_{xz} = N (2\varphi_{,xz} + H_{,xx} - H_{,zz}), \quad \tau_p = D \nabla^2 \varphi + Q \nabla^2 \psi, \quad \tau_p = Q \nabla^2 \varphi + R \nabla^2 \psi.$$

次に、 $z = 0$ における境界(荷重)条件は Fig. 1 に示した問題設定から、次のように書き出す。

$$\sigma_x(x, 0; t) = \sigma(x, t) = -P_0 \delta(x-ct) \hat{A}(t), \quad \gamma_{xz}(x, 0; t) = \gamma(x, t) = -Q_0 \delta(x-ct) \cdot \hat{A}(t), \quad \tau_p(x, 0; t) = \tau_p(x, t) (t > 0). \quad (7)$$

= ∴, δ および $\hat{A}(t)$ はそれぞれ Dirac のデルタ関数および Heaviside のステップ関数である。

「まだといえば、変位 u_x について Fourier 変換、Laplace 変換を次のように定義する。」

$$\text{Fourier 変換: } u_x(k, z; t) = \int_{-\infty}^{\infty} u_x(x, z; t) e^{-ikx} dx, \quad \text{Laplace 変換: } \tilde{u}_x^*(k, z; p) = \int_0^{\infty} u_x^*(k, z; t) e^{pt} dt. \quad (8)$$

= これらの逆変換をそれ自身、次のように表す。

$$\text{Fourier 逆変換: } u_x(x, z; t) = \frac{1}{2\pi} \int_{-\infty}^{\infty} \tilde{u}_x^*(k, z; t) e^{ikx} dk, \quad \text{Laplace 逆変換: } u_x^*(k, z; t) = \frac{1}{2\pi} \int_{-\infty}^{\infty} \tilde{u}_x^*(k, z; p) e^{pt} dp. \quad (9)$$

= ∴, \tilde{u} は Laplace 積分の収束座標である。

∴ 以降は基礎式 (4)～(6) と境界条件式 (7) の Fourier-Laplace 変換を行なう、 x に関する常数分方程式を解き、放射

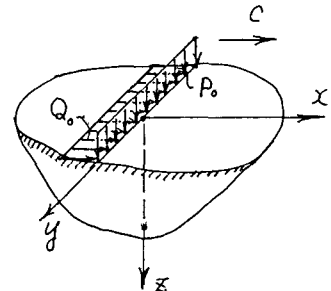


Fig. 1 半無限体と表面と移動する荷重

条件、境界条件を考慮して係数を定める。次に Fourier 变換、Laplace 变換と行なって用いた型の解析解を求める。手順の詳細は著者の先の論文に譲り、ここでは省略する。

3. 数値計算例

数値計算に用いた力学定数

は Fatt⁵により与えられたものを利用した。(石油鉱物の移動)

各々の位相速度は次のようだ

である。(v_3 : 模波速度)

$$v_1 = 2075 \text{ cm/sec}, v_1/v_2 = 1.960$$

$$v_1/v_3 = 2.155$$

横軸に無次元化距離、縦軸に

無次元化応力とし、表面せん断荷重 Q_0 が速度 C ($= 0.5v_3$,

$$0.9v_3$$
)で移動する場合の計算

例と、作用後の経過時間 T

(sec) とパラメータとして γ^0

ロットしたもののが Fig. 2~5

である。図中には多孔質内

の流体部分と伝播する波動(

位相速度 v_2 の継波)の存在し

た“古典的な弹性体(継波 v_1 ,

横波 v_3)に対する結果はさながら、その場合と非定常項を無視

した結果も示されてる。

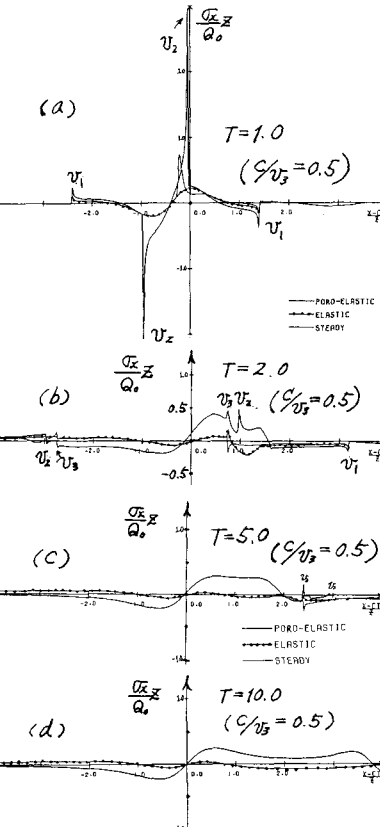


Fig. 2 応力 σ_{xz} の分布図

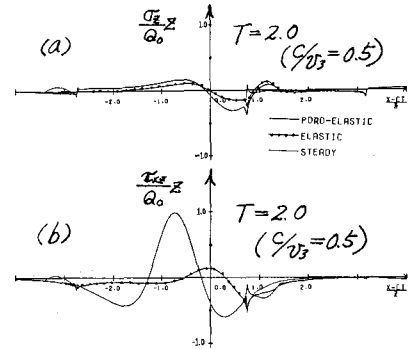


Fig. 3 応力 σ_{xz} , σ_{xz} の分布図

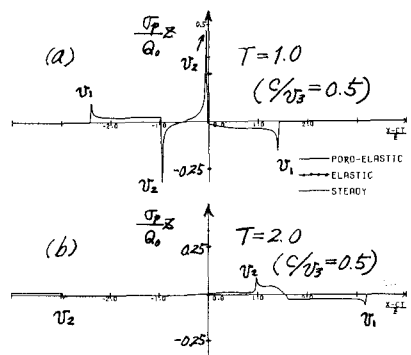


Fig. 4 応力 σ_p の分布図

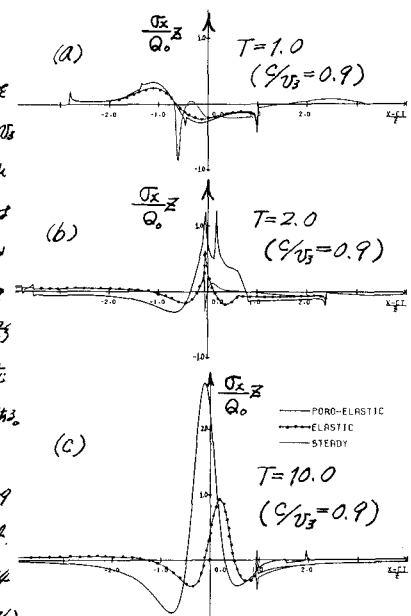


Fig. 5 応力 σ_x の分布図

- 参考文献: 1) Higuchi, N. & Hiroshima, K., Theor. Appl. Mech. 21(1977), p. 359
 2) 平野・Achenbach, 土木学会論文集, No. 341 (1984), p. 97. 3) Brot, M.A., J. Acoust. Soc. Am., 28 (1956), p. 163. 4) Brot, M.A. & Willis, D.C., J. Appl. Mech. (1957), p. 574.
 5) Fatt, I., J. Appl. Mech. (1959), p. 296. 6) Paul, S., Pure Appl. Geophys. 114 (1976), p. 605. 7) Jones, J.P., J. Acoust. Soc. Am., 33 (1961), p. 759. 8) Pal, P.C., J. Acoust. Soc. Am., 74 (1983), p. 586. 9) Hee, C.C. et al., Wave Motion, 7 (1985), p. 129.

($\gamma/v_3 = 0.9$ の場合)